

# Sigma Dynamics v3.6.2

Reference Edition — Unified & Implementable  
Yuri Kang / DeepKang-Labs — 2025  
Co-designed with DeepSeek

---

## Résumé exécutif

**Objet** — Modéliser un système cognitif collectif sous trois contextes (**crise**, **récupération**, **normal**).

**Idée centrale** — La cohérence globale  $\text{coh}(t)$  *émerge* des capacités locales et *rétroagit* via le terme réflexif  $\alpha_i \dot{\text{coh}}(t)$ , stabilisé par un gouverneur homéostatique.

## 1. Ontologie & Variables

$C_i(t) \in [0, 1]$ ,  $C_i \in \{\text{Non-Harm (NH), Equity (EQ), Stability (ST), Resilience (RE)}\}$ ,  
 $\Phi(t) \in \{\text{crisis, recovery, normal}\}$ .

Initialisation :  $C_i(0) = C_i^*(\Phi_0)$ . Projection :  $C_i \leftarrow \min(1, \max(0, C_i))$ .  $E_t \in \mathbb{R}^d$  : signaux d'environnement (réseau, marché, sémantique...).

## 2. Seuils adaptatifs et mémoire

$$\theta_i(t) = \sigma(\beta_{i0} + \beta_{iM} M_{t-1} + \beta_{iE}^\top E_t),$$

$$M_t = \sum_k w_k C_k, \quad w_k = \frac{1}{1 + e^{-\lambda(t-t_k)}}, \quad \sigma(x) = \frac{1}{1 + e^{-x}}.$$

## 3. Équation réflexive (locale + champ)

$$\dot{C}_i(t) = \sum_j K_{ij}(\Phi(t)) (C_j - \theta_j) - \lambda_i C_i + \alpha_i \dot{\text{coh}}(t) + \eta_i(t) \quad (1)$$

Forme vectorielle :

$$\dot{\mathbf{C}} = K(\Phi) (\mathbf{C} - \boldsymbol{\theta}) - \boldsymbol{\lambda} \odot \mathbf{C} + \boldsymbol{\alpha} \dot{\text{coh}} + \boldsymbol{\eta},$$

où  $\odot$  est le **produit de Hadamard** (élément par élément). Bruit  $\eta_i \sim \mathcal{N}(0, \sigma_\eta^2)$ , pas  $\Delta t = 0.1$ .

## 4. Cohérence systémique (notation unifiée)

$$\text{coh}(t) = \sigma\left(\sum_i \omega_i C_i(t) - \mu \sum_i \sqrt{\dot{C}_i(t)^2 + \varepsilon} + b(\Phi(t))\right)$$

avec  $\sum_i \omega_i = 1$ ,  $\varepsilon = 10^{-6}$ .  $\mu$  pondère l'*agitation* (vitesse de changement) : plus  $\mu$  est grand, plus les variations rapides pénalisent la cohérence.

## 5. Gouverneur homéostatique (veto)

$$\dot{C}_i \leftarrow \dot{C}_i - \nu v(t) \frac{\partial \mathcal{L}_{\text{hom}}}{\partial C_i}, \quad \mathcal{L}_{\text{hom}} = \sum_i (C_i - C_i^*(\Phi))^2, \quad v(t) \in \{0, 1\}.$$

Interprétation :  $C_i^{(\Phi)}$  sont des *niveaux cibles* par contexte (voir §7.2).

## 6. Décomposition des couplages $K = A + B$

$K_{ij}(\Phi) = A_{ij}(\Phi) + B_{ij}(\Phi)$  avec  $A_{ij} = A_{ji} \geq 0$  (synergie) et  $B_{ij} = -B_{ji}$  (direction/inhibition).

## 7. Paramètres par défaut & équilibres

### 7.1 Paramètres

Symbole	Description	Domaine	Valeur
$\alpha_i$	Sensibilité réflexive	$[0, 1]$	0.30
$\lambda_i$	Dissipation / inertie	$[0, 1]$	0.10
$\mu$	Poids de l'agitation dans coh	$[0, 1]$	0.30
$\sigma_\eta$	Amplitude du bruit	$[0, 1]$	0.01
$\Delta t$	Pas temporel	—	0.1
$\varepsilon$	Lissage numérique	—	$10^{-6}$
$v(t)$	Veto homéostatique	$\{0, 1\}$	1
$\nu$	Intensité du veto	$[0, 1]$	0.40
$b(\Phi)$	Biais (crise, recov., normal)	$\mathbb{R}$	$(-0.2, +0.1, 0)$

### 7.2 États d'équilibre $C_i^{(\Phi)}$

Les cibles  $C_i^{(\Phi)}$  représentent les niveaux souhaités par contexte. Trois stratégies usuelles : (i) **a priori** experts (normes métier), (ii) **estimées** comme moyenne temporelle des  $C_i$  observés dans chaque phase, (iii) **appries** par minimisation jointe de  $\mathcal{L}_{\text{hom}}$  sur données.

## 8. Matrices de couplage (contextuelles)

Ordre : (Non-Harm, Equity, Stability, Resilience)

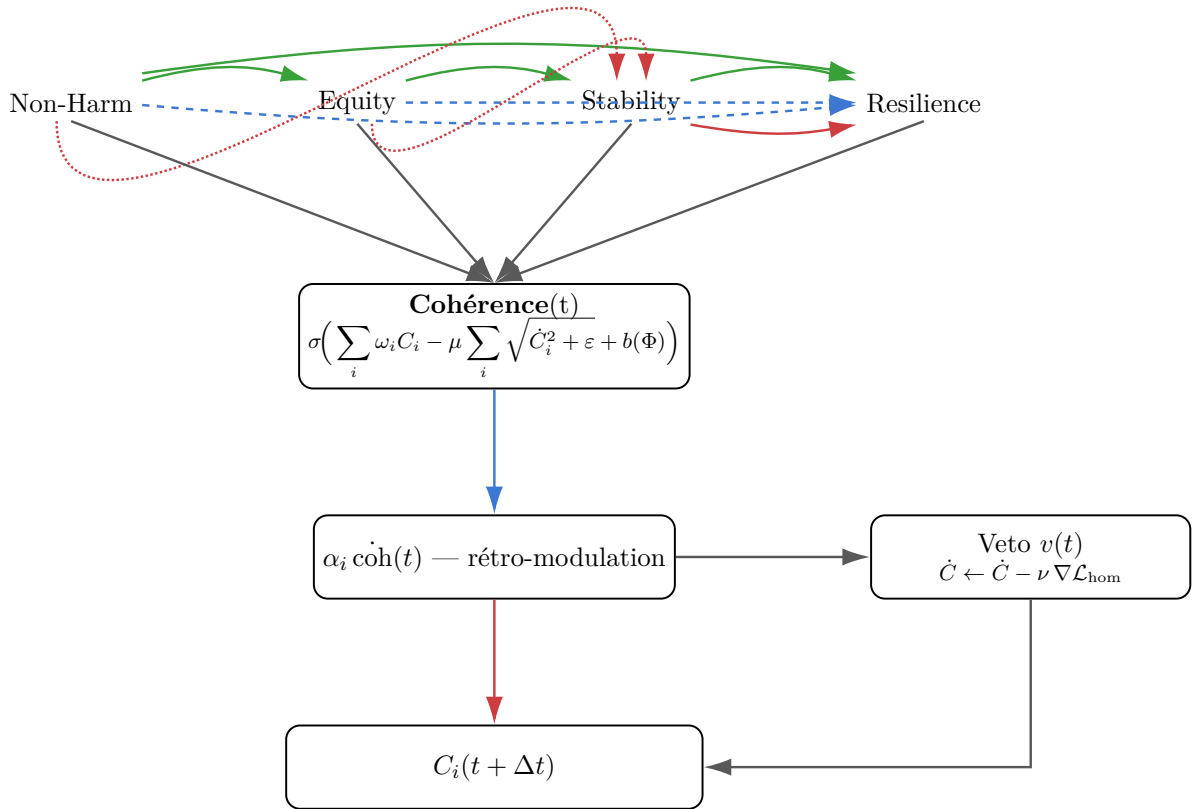
$$K^{\text{normal}} = \begin{bmatrix} 1.00 & 0.42 & 0.31 & 0.55 \\ 0.42 & 1.00 & 0.48 & 0.63 \\ 0.31 & 0.48 & 1.00 & 0.58 \\ 0.55 & 0.63 & 0.58 & 1.00 \end{bmatrix}$$

$$K^{\text{crisis}} = \begin{bmatrix} 1.00 & 0.35 & 0.24 & 0.45 \\ 0.35 & 1.00 & 0.45 & 0.55 \\ 0.24 & 0.45 & 1.00 & 0.72 \\ 0.45 & 0.55 & 0.72 & 1.00 \end{bmatrix}$$

$$K^{\text{recovery}} = \begin{bmatrix} 1.00 & 0.55 & 0.40 & 0.70 \\ 0.55 & 1.00 & 0.52 & 0.75 \\ 0.40 & 0.52 & 1.00 & 0.68 \\ 0.70 & 0.75 & 0.68 & 1.00 \end{bmatrix}$$

Arêtes inhibitrices (crise) :  $K_{\text{equity} \rightarrow \text{stability}} = -0.15$ ,  $K_{\text{non-harm} \rightarrow \text{stability}} = -0.10$ .

## 9. Schéma — Flux réflexif (capacités → cohérence → rétro-modulation)



### Légende contextes

— normal — synergie harmonisée      — recovery — Equity ↔ Resilience renforcé  
— crise — Stability ↔ Resilience prioritaire, inhibitions vers Stability

## 10. Couplages clés & Pseudocode

Couplage clé	Normal	Recovery	Crisis
NH $\rightarrow$ EQ	0.42	0.55	0.35
EQ $\rightarrow$ ST	0.48	0.52	-0.15 (inh.)
ST $\rightarrow$ RE	0.58	0.68	0.72
NH $\rightarrow$ RE	0.55	0.70	0.45
EQ $\rightarrow$ RE	0.63	0.75	0.55
NH $\rightarrow$ ST	0.31	0.40	-0.10 (inh.)

### Pseudocode d'intégration (Euler simple)

Input :  $C(0), \Phi(t), E_t, params$   
 $coh\_prev \leftarrow 0; C\_prev \leftarrow C(0)$   
 $fort = 0..T$  :  
 $\theta \leftarrow f(E_t, M_{t-1}); K \leftarrow K(\Phi)$   
 $\dot{C\_est} \leftarrow \begin{cases} 0 & \text{si } t = 0 \\ (C - C\_prev)/\Delta t & \text{sinon} \end{cases}$   
 $coh \leftarrow \sigma(\sum \omega \odot C - \mu \sum \sqrt{(\dot{C\_est})^2 + \varepsilon} + b(\Phi))$   
 $\dot{coh} \leftarrow (coh - coh\_prev)/\Delta t$   
 $dC \leftarrow K(C - \theta) - \lambda \odot C + \alpha \cdot \dot{coh} + \eta$   
 if  $v(t) = 1$  :  $dC \leftarrow dC - \nu \nabla \mathcal{L}_{hom}$   
 $C\_prev \leftarrow C; coh\_prev \leftarrow coh$   
 $C \leftarrow clip(C + \Delta t \cdot dC, 0, 1)$   
 Output : Trajectoire  $C(t)$

### Annexe A — Exemple numérique (un pas de temps, cohérence incluse)

Hypothèses :  $\Phi = \text{normal}$ ,  $\Delta t = 0.1$ ,  $\alpha_i = 0.30$ ,  $\lambda_i = 0.10$ ,  $\mu = 0.30$ ,  $\nu = 0.40$ ,  $v(t) = 1$ ,  $\eta = 0$ .

États :  $C_{prev} = (0.59, 0.49, 0.39, 0.54)$ ,  $C = (0.60, 0.50, 0.40, 0.55)$ ,  $\theta = (0.52, 0.47, 0.41, 0.50)$ .

1) **Ecart** :  $x = C - \theta = (0.08, 0.03, -0.01, 0.05)$ .

2) **Terme linéaire** :  $K^{\text{normal}}x \approx (0.113, 0.103, 0.077, 0.120)$ .

3) **Agitation (dérivée)** :  $\dot{C}_{est} = (C - C_{prev})/\Delta t = (0.10, 0.10, 0.10, 0.10)$ .

$\sum_i \sqrt{\dot{C}_{est,i}^2 + \varepsilon} \approx 4 \times 0.1 = 0.4$ .

4) **Cohérence** : avec  $\omega_i = \frac{1}{4}$  et  $b(\Phi) = 0$ ,  $coh(t) = \sigma(\frac{1}{4} \sum C_i - \mu \cdot 0.4) = \sigma(0.525 - 0.12) \approx \sigma(0.405) \approx 0.600$ .

Supposons  $coh(t - \Delta t) \approx 0.590 \Rightarrow \dot{coh} \approx (0.600 - 0.590)/0.1 = 0.10$ .

5) **Variation** :  $dC = Kx - \lambda \odot C + \alpha \dot{coh} \cdot (1, 1, 1, 1)$   
 $= (0.113, 0.103, 0.077, 0.120) - 0.1 \cdot (0.60, 0.50, 0.40, 0.55) + 0.30 \cdot 0.10 \cdot \mathbf{1}$   
 $\approx (0.073, 0.083, 0.067, 0.095)$ .

6) **Veto** : si  $C = (0.58, 0.52, 0.45, 0.56)$ , alors  $\nabla \mathcal{L}_{hom} = 2(C - C^*) = (-0.04, -0.04, -0.10, -0.02)$ .

$dC \leftarrow dC - \nu \nabla \mathcal{L}_{hom} \approx dC + (0.032, 0.032, 0.080, 0.016)$

$\Rightarrow dC \approx (0.105, 0.115, 0.147, 0.111)$ .

7) **Mise à jour** :  $C^+ = C + \Delta t dC \approx (0.611, 0.512, 0.415, 0.561)$  puis  $clip[0, 1]$ .